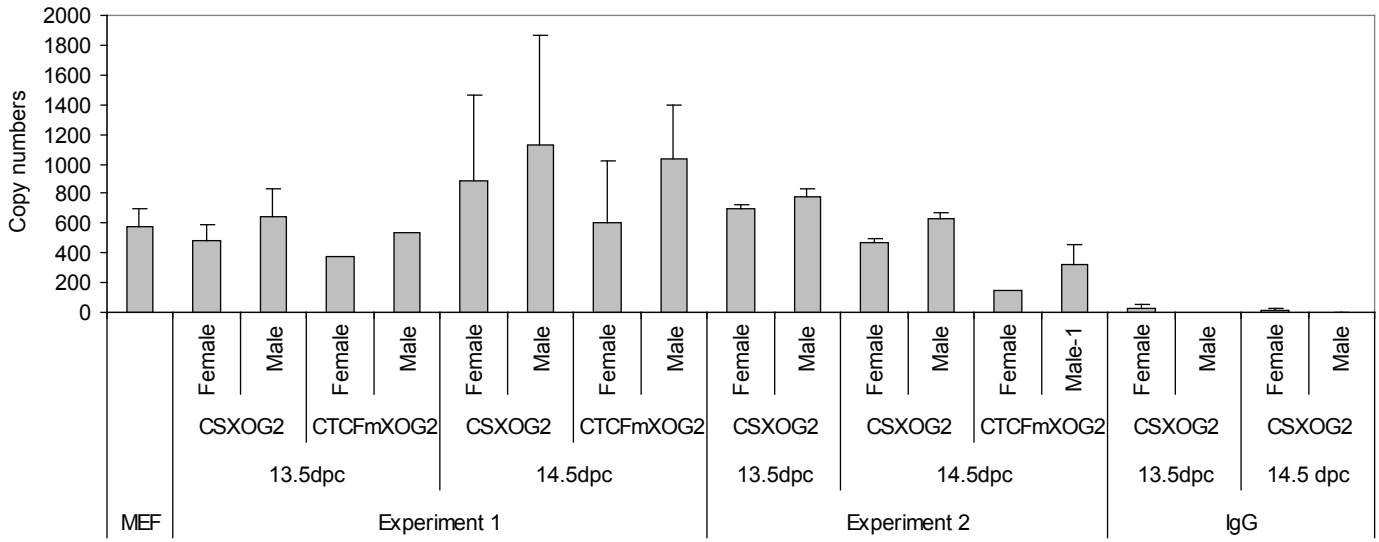


H3K4me2 Region A



H3K4me2 Region B

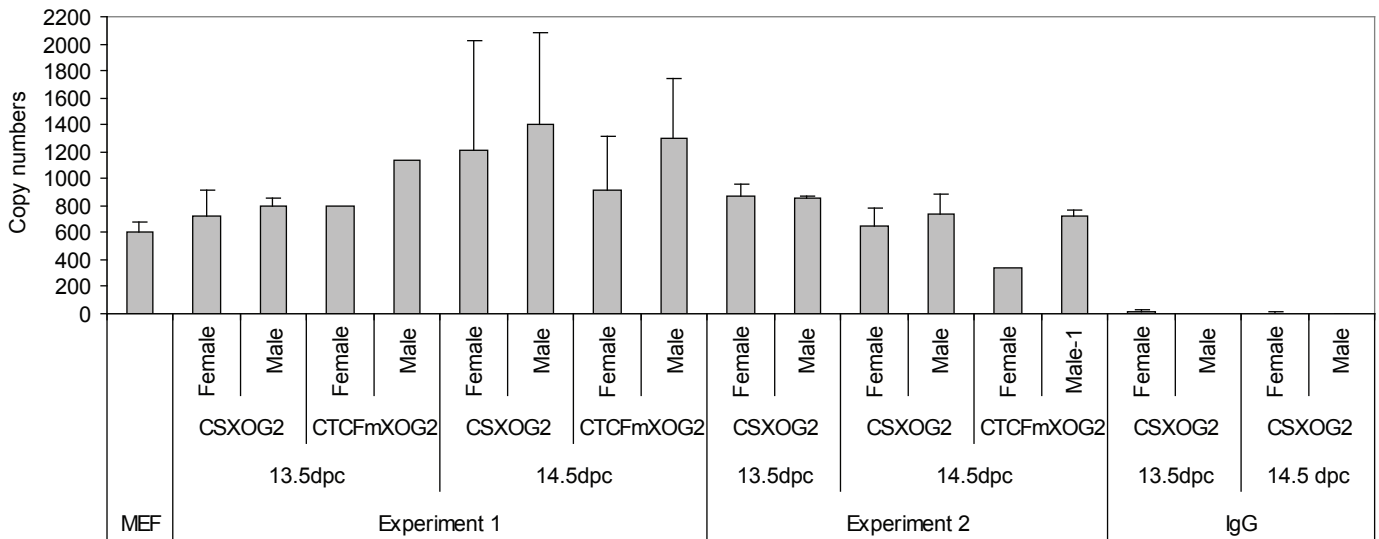


Figure S9 Lee et al.